

بررسی آزمایشگاهی اثرهای تزریق آب به مخازن در آسیب دیدگی سازند و تغییر ساختار محیط متخلخل

سعید عباسی^{*}, [†]محسن توکلیان

تهران، پژوهشگاه صنعت نفت، پژوهشکده اکتشاف و تولید، مرکز مطالعات ازدیاد برداشت از مخازن

چشمیک رودساز

تهران، شرکت ملی نفت ایران، معاونت برنامه‌ریزی مخازن هیدروکربوری

چکیده: در این پژوهش با نمونه‌گیری از آب سازند و آب تزریقی در یکی از میدان‌های ایران و تهیه نمونه سنگ مخزن، سعی شد پارامترهای موثر در فرآیند تزریق همچون شدت جریان و لیتولوژی سنگ مخزن در مدل فیزیکی در آزمایشگاه، تحت شرایط مختلف مورد بررسی قرار گیرد. همچنین با فرآیند فیلتراسیون آب تزریقی و مقایسه با آب صاف نشده، اثرهای ذره‌های معلق و حرکت این ذره‌ها در محیط متخلخل به صورت دقیق‌تری مورد بررسی قرار گرفتند. در سنگ‌های ماسه‌ای با سیمان شدگی ضعیف، افزایش شدت جریان باعث به هم خوردگی ساختار محیط متخلخل شده و در موردهایی با توجه به وجود شکاف‌های ریز، باعث ایجاد مسیرهای جریانی از داخل آنها می‌شود. در مشاهده‌های آزمایشگاهی مشخص شد که شکاف ایجاد شده در نمونه سنگ می‌تواند باعث کاهش فشار تزریق در مراحل ابتدایی تزریق شود. اما در مقابل، این شکاف می‌تواند به صورت کانالی باشد که باعث انتقال ذره‌های معلق و یا جدا شدن ذره‌ها از بدن سنگ شود و مکان‌های دیگر ممکن است باعث گرفتگی در حفره‌ها سنگ شود. این گرفتگی‌ها در صورت نزدیک شدن به چاه‌های تولیدی باعث افت فشار و در نتیجه کاهش تولید خواهد شد. هر چند افزایش شدت جریان در نمونه‌های ماسه‌ای مورد نظر، افزایش محسوسی در فشار تزریق به دنبال نداشت، اما نتیجه‌ها و مشاهده‌ها حکایت از آن دارد که در صورت حرکت ذره‌ها در محیط متخلخل با طولانی تر شدن مسیر حرکت و گذشت زمان بیشتر، تجمع ذره‌ها در حفره‌ها می‌تواند باعث گرفتگی و در نتیجه کاهش نفوذ پذیری در محیط متخلخل شوند.

واژه‌های کلیدی: تزریق آب، آب همراه نفت، آب سازند، آبده، افت نفوذ پذیری، آسیب دیدگی سازند، تخلخل، حرکت ذرات، سازند ماسه‌ای، آب غیرسازندی

KEY WORDS: Water injection, Produced water, Aquifer, Permeability reduction, Formation damage, Porosity, Sandstone, Particle movement, Fine migration, Filtration.

مقدمه

یکی از پدیدهای اثر گذار در فرآیند تزریق آب که باعث تزریق را به دنبال خواهد داشت، آسیب دیدگی^(۱) در سازند می‌باشد. آسیب دیدگی سازند به هر فرآیندی گفته می‌شود که باعث کاهش بازده در فرآیند تزریق می‌گردد و همچنین افزایش هزینه‌های

*عهده دار مکاتبات

+E-mail: abbas@ripi.ir

(۱) Formation Damage

ترشوندگی سنگ مخزن دارد. ترشوندگی به خاصیتی از سنگ اطلاق می‌شود که تعیین کننده تمایل سنگ به جذب یکی از سیالات عبور کننده نسبت به دیگری در یک جریان چند فازی است [۲]. *Liu* نشان داد که فشار اضافه^(۱) چگونه بر مهاجرت ذره‌ها تأثیر می‌گذارد و این که بسته به قابلیت ارتقای گلوگاه تخلخل و افزایش فشار، مهاجرت ذرات در نمونه با فشار زیاد، نسبت به نمونه با فشار کم، شدت بیشتری به خود می‌گیرد. این مساله اغلب در سازندگانی با تراوایی کمتر، با شدت بیشتری مشاهده می‌شود. دلیل آن هم این است که در محیط‌های با تراوایی کمتر، گلوگاه‌های با اندازه کوچکتر، فراوان‌ترند و در نتیجه این سیستم‌ها تمایل بیشتری برای انسداد مسیرها از خود نشان می‌دهند [۳]. *Muecke* نتیجه گرفت که، ماسه سنگ‌های سیمانی نشده^(۲)، مقدار زیادی ذرات بسیار ریز جامد و با تنوع در اندازه و ترکیب دارند که در محیط متخلخل به طور کامل بدون استحکام می‌باشند [۴]. در این تحقیق نیز با انتخاب نمونه سنگ‌های واقعی از مخزن که دارای سیمان شدگی ضعیفی می‌باشند به وضوح تغییر در ساختار سنگ در محل تزریق مشاهده می‌شود. زمانی که جریان سیال تک فازی بوده و سرعت کافی برای معلق نگهداشتن ذره‌ها وجود داشته باشد، ذره‌های موجود در سازند در داخل خلل و فرج حرکت می‌کنند؛ مگر اینکه توسط مسیرهای بسته محیط متخلخل از حرکت بازیستند. پل‌های تشکیل شده در گلوگاه‌ها می‌تواند به وسیله اختلالات فشار یا جریانهای برگشتی سیال از هم پاشیده شود.

کیفیت فیزیکی مهم دیگری که در مورد مهاجرت ذره‌های ریز وجود دارد آنست که برای یک محیط متخلخل خاص، به طور معمول یک سرعت جریانی بحرانی وجود دارد که برای مقدارهای سرعت کمتر این مقدار، جایه‌جایی ذره‌ها اتفاق نخواهد افتاد. آنها در تحقیقات خود مشاهده کردنده که بعضی ذرات در سرعتهای کمتر از سرعت بحرانی نیز حرکت می‌کنند، اما مقدار آنها به اندازه‌ای نیست که بتوانند پلی تشکیل دهنده و یا اگر هم تشکیل دهنده، این پل به اندازه کافی محکم و پایدار نیست که باعث کاهش تراوایی شود [۵-۱۰].

ورود ذره‌های جامد

در بسیاری از حالات، مکانیسم ورود ذره‌های جامد موجود در سازند و همچنین ذره‌های خارجی به محیط متخلخل را می‌توان شبیه به بخشی از سازند دانست که بالاً فاصله بعد از دهانه چاه

ایجاد کاهش در توان تولید نفت، گاز یا آب از سازند تولیدی یا ایجاد کاهش در توان تزریق آب، گاز تزریقی و یا چاه Disposal شود. به دلیل دشواری در تشریح و برآورد دقیق آسیب دیدگی سازند و علت به وجود آمدن آن، تعریف دیگری از آن توسط پژوهشگران ارایه شده است. بر طبق این تعریف، آسیب دیدگی سازند، صدمه‌ای است که به صورت نامحسوس و به دلایل غیر قابل کنترل و غیر قابل اجتناب به سازند وارد شده و باعث کاهش غیرقابل اندازه‌گیری دقیق کارآیی سازند می‌شود. آنچه که در این پژوهش مورد نظر قرار گرفته شد آسیب دیدگی ناشی از یک واکنش شیمیایی یا غیر شیمیایی است که ممکن است تراوایی مفید در تزدیکی دهانه چاه را کاهش دهد و می‌توان آنرا به مکانیسم‌های جزئی تر تقسیم نمود، از جمله: مهاجرت فیزیکی و حرکت آهسته ذره‌های ریزی^(۱) که به صورت طبیعی در داخل مخزن تشکیل می‌شوند، انسداد متخلخل‌ها به دلیل ورود ذره‌های ریز خارجی به داخل سازند، کنده شدن ذره‌ها به دلیل مقاومت پایین آنها و حرکت در محیط متخلخل، تشکیل لعب، خمیر شدگی سنگ مخزن، اعمال فشارهای ژئومکانیکی.

مهاجرت ذره‌های ریز

این پدیده به دلیل حرکت ذرات ریز در داخل محیط متخلخل ناشی از جریان سیال اتفاق می‌افتد. جریان سیال در داخل خلل و فرج محیط متخلخل نیروی برشی قوی را ایجاد می‌کند. این نیرو باعث می‌شود ذره‌های ریزی که به صورت طبیعی به دیواره داخلی حرکت، در گلوگاه‌های حفره‌ها مستقر شوند و با سد کرد این گلوگاهها و بستن آنها، باعث کاهش تراوایی شوند. مطالعه‌های انجام شده بر روی مهاجرت ذره‌های ریز در داخل محیط متخلخل نشان می‌دهد ذره‌هایی که اندازه آنها در حدود ۳۰ درصد بیش از اندازه گلوگاهی است که قصد گذر از آن را دارند، می‌توانند پل‌های مسدود کننده پایداری را در گلوگاه مذکور ایجاد کرده و تراوایی را کاهش دهند. تحقیقات انجام شده در سال‌های اخیر نشان داده است که بسته به سرعت داخلی جریان سیال (به ویژه در سرعتهای پایین و آرام)، ذرات با اندازه‌های بسیار کوچک‌تر تا اندازه ۷ تا ۱۰ درصد کمتر از قطر گلوگاه تخلخل نیز، پتانسیل تشکیل پل‌های پایدار و کاهش تراوایی را دارند [۱]. مهاجرت ذره‌های ریز همچنین وابستگی شدیدی به خاصیت

(۱) Fine Migration

(۳) Unconsolidated

(۲) Overburden Pressure

مورد تحلیل و بررسی قرار گرفتند. ناهمگونی (هتروژنیتی) مخزن از جمله مشکلاتی است که پیش بینی نتایج را مشکل ساز می‌نماید. دوم اینکه وجود پیچیدگی‌های مخازن نفت و گاز از جهت ساختار و خواص فیزیکی و وجود شکاف‌ها و همچنین تقابل متفاوت سنگ و سیال، پیش‌بینی نتیجه‌ها را با مشکل مواجه می‌سازد. بر اساس این پیچیدگی‌ها در بسیاری از موردها در پروژه‌های تزریق آب مشکل‌های متعددی پیش می‌آید. در این پژوهش آزمایش‌ها روی یکی از مخزن‌های ایران که در حال تزریق آب می‌باشد انجام شده است. در این بررسی‌ها سعی شد با استفاده از نمونه تهیه شده از آب مخزن و همچنین نمونه سنگ مخزن فرایند تزریق به مغزه در شرایط متفاوت در آزمایشگاه مورد بررسی قرار بگیرد. همچنین با انتخاب دو نوع جنس متفاوت از سنگ (ماسه‌ای و کربناته) در لایه مورد مطالعه در مخزن و با استناد به تحقیقات انجام گرفته سعی شد با انجام آزمایش‌های لازم اثر تزریق آب در کاهش نفوذپذیری در نمونه‌های ماسه‌ای و کربناته به طور مجزا مورد بررسی قرار بگیرد. آزمایش‌ها به گونه‌ای طراحی شد تا اثر شدت جریان در حرکت ذره‌ها مطالعه شود. پیچیدگی پدیده‌ها در مشاهده‌های آزمایشگاهی آنچنان می‌باشد که بسیاری از محققین اصولی را برای دستیابی به اهداف خود به کار می‌برند و با طراحی سناریوهای مختلف سعی در تخمین پارامترهای مورد نظر می‌باشند [۲۵، ۲۶].

بخش تجربی

انتخاب نمونه سنگ مخزن

در این تحقیق نمونه‌های مورد نظر مربوط به یکی از میدان‌های جنوب ایران می‌باشد. آسماری و بنگستان دو لایه مهم تولیدی از این میدان می‌باشد. سازند آسماری در میدان فوق مرکب از ماسه سنگ و سنگ آهک می‌باشد و مقدار تخلخل متوسط آن ۱۸ درصد است. فرآیند تزریق در این میدان در آبده مخزن توسط چاههایی که در لایه آسماری تکمیل شده‌اند انجام می‌گیرد.

در طول عملیات تزریق بر روی نمونه‌های سنگ مخزن سعی شد با تغییر پارامترهای موثر میزان صدمه دیدگی و همچنین چگونگی تأثیر پارامترهای مورد نظر بررسی شود. در ابتدا تعدادی نمونه ماسه‌ای از لایه آسماری در مخزن فوق انتخاب گردید همچنین برای مقایسه کامل‌تر و بررسی تأثیر لیتوژئی در این نمونه سعی شد این اثر روی نمونه‌های از جنس کربناته در این لایه نیز مشاهده شود.

قرار گرفته است و مانند یک فیلتر بزرگ عمل می‌کند. در بسیاری مواقع و برای سازندهای با تخلخل و تراوایی متوسط، بخش عمده ذره‌هایی که به سازند وارد می‌شوند، در ناحیه‌ای نزدیک به نقطه ورودی که به طور معمول دورتر از 1 cm نیست، صاف می‌شوند.

این پدیده به طور مفصل توسط مطالعه‌های آزمایشگاهی و عملیاتی بسیار زیادی مورد بررسی و آنالیز قرار گرفته است [۱۱-۱۶]. ورود ذره‌های خارجی یا ذره‌هایی که به صورت طبیعی در سازند وجود دارند، در سازندهای با تراوایی بسیار بالا می‌تواند مشکل سازتر بوده و تا عمق بیشتری نفوذ کنند. از دیگر عواملی که باعث نفوذ بیشتر ذره‌ها می‌شود اعمال فشار بیش از مقدار تعادل به لایه با تراوایی کم و همگون است. به طور معمول اگر تراوایی سازند از مقدار 750 mD یا فشار بیش از مقدار تعادل از 7 Mpa (۱۰۰۰ psi) بیشتر شود، پتانسیل لازم برای هجوم عمیق‌تر ذره‌ها به وجود می‌آید [۱۷-۱۹]. *Kwan* و همکارانش تلاش کردند که کاهش تراوایی که توسط مهاجرت ذره‌های ریز صورت می‌پذیرد را در نمونه مغزه‌ای که از سازند *Cold Lake* میدان *Clearwater* واقع در ایالت Alberta تهیه شده بود، به صورت کمی بیان کنند [۲۰]. *Souto* و همکارانش در آزمایش‌های خود کاهش تراوایی را به دلیل مهاجرت رس مشاهده کردند که در زمان جایگزین شدن آب همزاد با آب نمک اتفاق می‌افتد [۲۱]. در مطالعه‌های آزمایشگاهی مشاهده شد که رسوب مجدد ذره‌های ریز باعث افت تولید غیرطبیعی می‌گردد. همچنین نشان داده شده که این پدیده محدود به دهانه چاه است در ادامه گروهی از پژوهشگران، آزمایش‌هایی که بر روی 17 Mpa انجام دادند جنبه‌های مختلف فیزیکی و مکانیکی فرآیندها را که با حرکت و بهدام افتدان ذره‌های معلق، باعث صدمه به سازند می‌شوند مورد مطالعه قرار دادند [۲۲، ۲۳].

Todd و همکاران آزمایش‌های خود را بر روی سه جنس مختلف سنگ مخزن انجام دادند آنها مشاهده کردند که کاهش تزریق پذیری که با آزمایش بر روی مغزه پیش بینی شده بود در مقیاس میدانی دیده نشد که این امر ممکن است به دلیل وجود شکافها در سطح دهانه چاه باشد [۲۴]. در این تحقیق تلاش شده با استناد به شرایط واقعی مخزن تطابقی در جهت شرایط واقعی با شرایط دیده شده در آزمایشگاه به وجود آید. به عبارتی در اینجا بر خلاف مشاهده‌های *Todd* و همکارانش کاهش نفوذپذیری در آزمایشگاه نیز چندان محسوس نبود که با انجام آزمایش‌های متفاوت از نقطه نظر ساختار سنگ مخزن و وجود شکاف اثرپذیری هر کدام از این پارامترها

پمپ تزریق و مغزه نگهدارنده تشکیل شده است. شمای ساده‌ای از این سیستم در شکل ۱ نشان داده شده است.

نحوه آماده سازی مدل

برای کلیه آزمایش‌ها ابتدا مدل برای مدت ۱۰۰ ساعت در دستگاه مخصوص با تولوئن شسته شد. پس از اطمینان از تمیزی مدل بهمنظور خشک شدن برای مدت ۲۴ ساعت در داخل آون قرار داده شد. با استفاده از سامانه اشباع، ابتدا برای مدت ۴ ساعت مدل تحت خلاء قرار گرفت. سپس اجازه داده شد تا آب سازند مورد نظر بر روی آن ریخته شود تا زمانی که به طور کامل در داخل آب سازند غوطه‌ور شود. پس از آماده شدن مدل فیزیکی از نظر اشباع سیال، در داخل محفظه نگهدارنده ویژه قرار داده و اتصالات مربوط به ورود و خروج سیال در سیستم سیلازنی به محفظه وصل شد. در این مرحله به منظور مطالعه عملکرد فرایند تزریق آب روی سنگ مخزن با توجه به سناریوهای طراحی شده مدل فیزیکی تحت فرآیند تزریق قرار گرفت.

اثر فشار در تغییر ساختار سنگ مخزن در دهانه چاه در سازندها با سیمان شدگی ضعیف (آزمایش ۱)

این آزمایش بر روی مغزه شماره ۱ انجام گرفت. همانطور که در جدول ۲ خواص مغزه مورد نظر نشان داده این مغزه از جنس ماسه‌ای و با نفوذ پذیری مطلق بیش از ۳۵۰ میلی دارسی می‌باشد. در این آزمایش ابتدا نمونه سنگ مخزن تحت تزریق آب سازند با شدت جریان ۲ cc/h ۲ قرار گرفت. شرایط آزمایش در دمای ۸۰ درجه سانتگراد و فشار سیستم ۱۵۰ بار در نظر گرفته شد. آزمایش پس از تزریق PV ۲ از آب سازند در شرایط پایدار قرار گرفت. که با ادامه تزریق نمونه آب تزریقی در چندین مرحله و در شدت جریانهای ۲ cc/h، ۴ cc/h، ۸ cc/h تزریق انجام شد. که با افزایش شدت جریان پس از پایداری در سیستم هیچ گونه افزایش فشار یا کاهش نفوذپذیری نسبت به حالت اولیه مشاهده نشد. پس از توقف و بررسی سیستم، تغییر در ساختار سنگ و خمیرشدنگی مغزه مشاهده شد. شکل ۲ نمونه مغزه که در داخل نگهدارنده مغزه قرارداده شده است را بعد از عملیات تزریق و در محل تزریق نشان می‌دهد.

همچنان که مشاهده می‌شود شسته شدن سازند توسط آب تزریقی و فشار تزریقی باعث تغییر شکل ساختار و بهم خوردگی دانه‌های ماسه در محل تزریق می‌شود. این اثر می‌تواند در دهانه

جدول ۱- تجزیه نمونه آب تزریقی و آب سازند.

ترکیبات و خواص آب	آب سازند	نمونه آب تزریقی	آب سازند
PH	۵/۲	۵/۵	-
اکسیژن محلول (میلی گرم در لیتر)	< ۱	۲۰۲۰۵۰	۱۲۷۲۴۰
TDS	۳۵۲	۱۳۰۰	-
TSS	۱۷۷	۱۷۰	۲۹۱
قلیلایت (میلی گرم در لیتر)	۲۲۳	۲۲۳	< ۲
سولفات (میلی گرم در لیتر)	۷/۲	< ۲	۷/۲
سولفیت (میلی گرم در لیتر)	۸/۴	۰/۰۵	۱۲۳۱۰۰
کلر آزاد (میلی گرم در لیتر)	-	۸۰۰۰	۱۳۲۸۰
کلسیم (میلی گرم در لیتر)	۱۲۶۲	-	۱۲۶۲
منیزیم (میلی گرم در لیتر)	۵/۰	۵/۰	۴
نفت و روغن (میلی گرم در لیتر)	۸۳۶	۸۳۶	۱۱۱۶
COD (میلی گرم در لیتر اکسیژن)	۴۱۵	۱/۶	۵/۳۰
BOD _۵ میلی گرم در لیتر اکسیژن	-	۰/۴۱	۰/۵۸
باریم (میلی گرم در لیتر)	۲۳	۲۳	۴۲
استرانسیم (گرم در لیتر)	۳۶	۰/۷۱	۶۰
آهن (میلی گرم در لیتر)	۷/۵	۰/۷۱	۱/۱
پتاسیم (گرم در لیتر)	-	۰/۹۱۶۴	۱۲
لیتیم (میلی گرم در لیتر)	CST @ ۴۰ °C	-	۰/۹۱۶۴

آماده سازی نمونه ها

در این بخش ابتدا هر کدام از نمونه ها توسط تولوئن مورد شیستشو قرار گرفته و سپس نمونه ها تحت سیستم اشباع توسط آب مخزن که آب سازند آسماری می باشد قرار داده شدند. پس از عملیات آماده سازی، شیستشو و اشباع نمودن مغزه ها، آزمایش های تزریق به مغزه های مورد نظر در چندین مرحله به طور جداگانه انجام گرفت. در جدول ۱ آنالیز آب سازند و آب تزریقی نشان داده شده‌اند.

شرح دستگاه سیلازنی

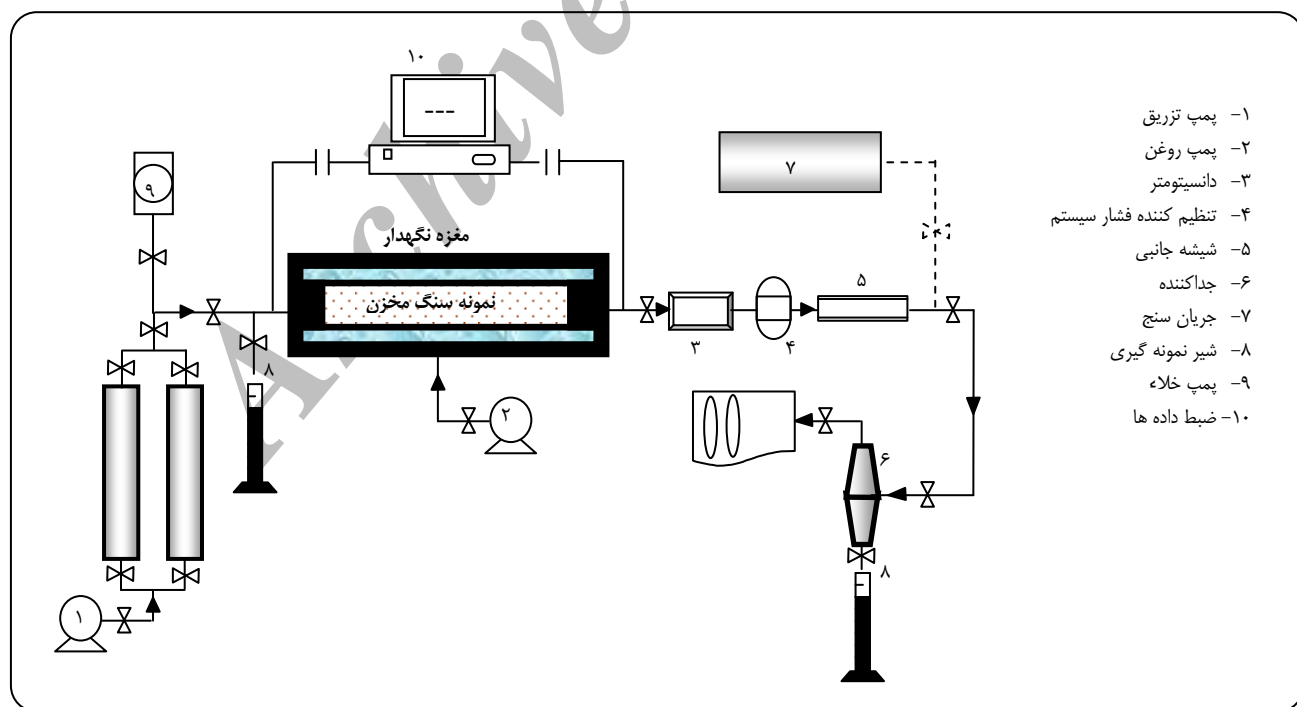
برای تزریق در این آزمایش‌ها از سیستم تحقیقاتی سیلازنی استفاده شد. این دستگاه دارای مشخصات بارزی است که می‌تواند تحت شرایط مخزن از نظر درجه حرارت و فشار، عمل تزریق سیال را انجام دهد. به‌طور کلی این دستگاه از دو قسمت اصلی

جدول ۲- خاصیت‌های نمونه مغزه‌های به کار بوده شده در آزمایش‌ها.

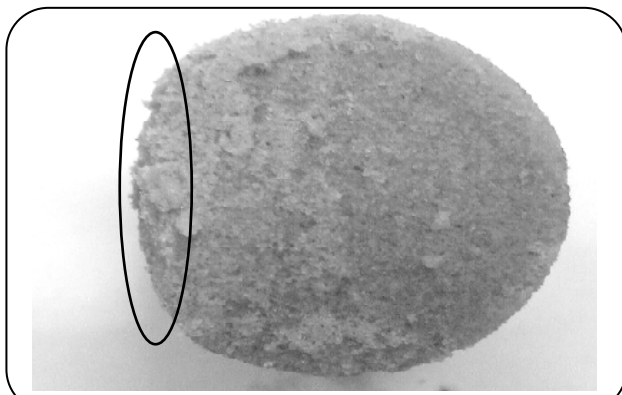
شماره مغزه	طول (cm)	قطر (cm)	وزن (g)	تخلخل (%)	نفوذپذیر (md)	حجم تخلخل (cc)
۱	۵/۴۹۲	۳/۷۴۷	۱۱۷/۴۳	۲۲/۰۷	۳۸۹/۶۵	۱۳/۱۲
۲	۵/۱۹۰	۳/۷۴۷	۱۱۰/۰۵	۲۶/۴۸	۵۱۲/۴۲	۱۴/۳۵
۳	۵/۱۰۵	۳/۷۵۶	۱۱۰/۳۴	۲۷/۰۲	۳۴۹/۶۵	۱۵/۲۷
۴	۵/۲۸۲	۳/۷۴۶	۱۱۴/۲۷	۲۳/۸۹	۴۵۹/۱۸	۱۳/۹۰
۵	۴/۷۹۱	۳/۷۴۸	۱۱۵/۵۷	۱۸/۸۴۹	۱۶/۵۸	۹/۹۸
۶	۴/۸۴	۳/۷۶	۱۲۵/۱۶	۱۴/۱۸	۹۰/۳	۷/۶۵
۷	۴/۰۹	۳/۷۷	۱۰۰/۱۶	۲۰/۴۷	۵۰/۱۰۲	۹/۳۸

جدول ۳- نوع سیال تزریقی و ساختار سنگ نمونه در هر یک آزمایش‌های تزریق.

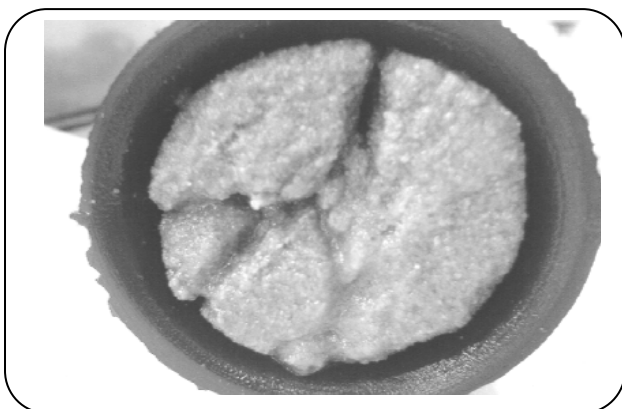
شماره آزمایش	سیال تزریقی	سیال اشباع شده در سنگ	ساختار سنگ
۱-آزمایش	آب سازند و آب تزریقی به مخزن	آب سازند مخزن مورد نظر	ماسه ای
۲-آزمایش	آب تزریقی صاف شده و صاف نشده	آب سازند مخزن مورد نظر	ماسه ای
۳-آزمایش	آب سازند صاف شده و صاف نشده	آب سازند مخزن مورد نظر	ماسه ای
۴-آزمایش	آب سازند صاف شده، آب تزریقی صاف نشده	آب سازند	ماسه ای
۵-آزمایش	آب تزریقی صاف نشده	آب سازند	آهکی
۶-آزمایش	آب تزریقی	آب سازند	آهکی
۷-آزمایش	آب سازند و آب تزریقی صاف شده	آب سازند	آهکی



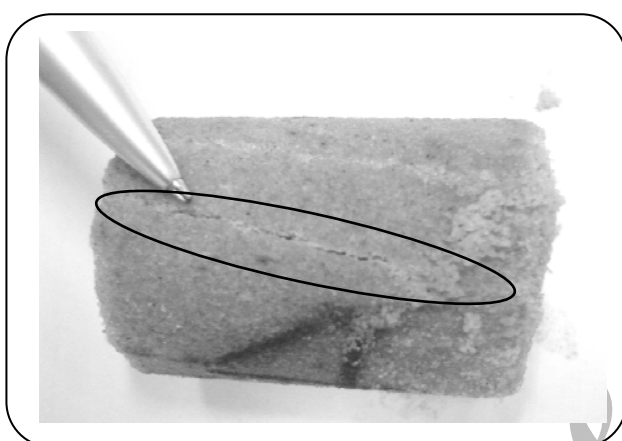
شکل ۱- شماتی سیستم تزریق به مغزه.



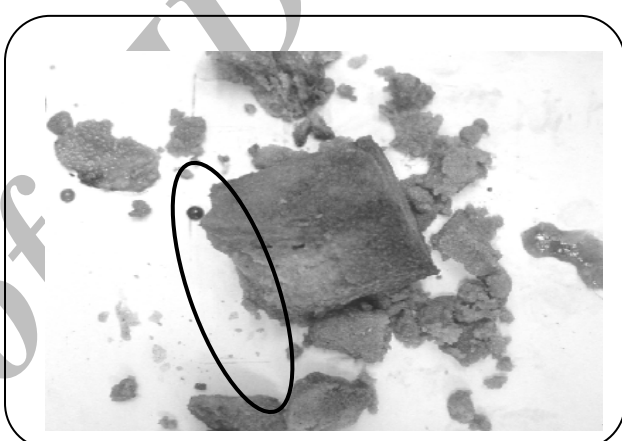
شکل ۴- نمای نشان داده شده از بالای نمونه مغزه شماره ۲ بعد از فرآیند تزریق آب.



شکل ۲- نمونه مغزه شماره ۱ در محل تزریق.



شکل ۵- شکاف ایجاد شده در مغزه شماره ۲ در زمان عملیات تزریق.



شکل ۳- شمای نمونه مغزه شماره ۱ بعد از تزریق (خارج شده از محل مغزه نگهدار).

به دلیل دارن بودن شکاف ریز و عدم مقاومت سنگ، که باعث شسته شدن مغزه در محل ورود به مغزه و ایجاد شکاف گردید متوقف شد. به عبارتی با توجه به شکاف ایجاد شده و نفوذپذیری مناسب سنگ مخزن و شسته شدن در محل تزریق افت فشاری که به واسطه افزایش شدت جریان تزریق باید مشاهده می شد، در عمل چندان محسوس نبود. در شکل های ۴ و ۵ نمونه مورد نظر بعد از تزریق اولیه نشان داده شده است.

اثر ذره های معلق و شدت جریان در کاهش نفوذپذیری سنگ مخزن ماسه ای با سیمان شدگی ضعیف (آزمایش ۳)

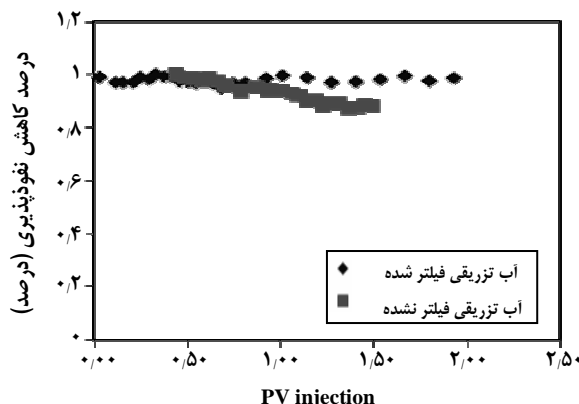
آزمایش ها در این بخش بر روی مغزه شماره ۳ انجام شد که در جدول ۲ خواص این مغزه نشان داده شده است. در این قسمت برای جلوگیری از مشکلات شکستگی مغزه سیستم تحت فشار ۲۰ بار قرارداده شده و با شرایط دمایی ۸۰ درجه سانتیگراد عملیات تزریق

چاهه ای تزریقی، تشکیل شده از ماسه، با سیمان شدگی ضعیف، همانند بعضی از قسمت ها در لایه آسماری مخزن فوق، به وجود آید. شکل ۳ نمونه مغزه را بعد از تزریق در حالی که از نگهدارنده مغزه خارج شده نمایش می دهد.

تأثیر فشار بر این نوع سنگ مخزن و شستن ماسه ها در قسمت ابتدایی مغزه به طور کامل مشخص است. با توجه به شرایط ایجاد شده برای مغزه می توان گفت در این حالت افزایش طول مغزه می تواند مدل واقعی تری از حرکت سیال در محیط متخلخل در داخل مخزن به ما نشان دهد.

اثر شکاف و عدم مقاومت سنگ مخزن در نمونه سنگ ماسه ای (آزمایش ۲)

این آزمایش بر روی مغزه شماره ۲ انجام گرفت. ویژگی های این مغزه در جدول ۲ آورده شده است. آزمایش تزریق روی این نمونه

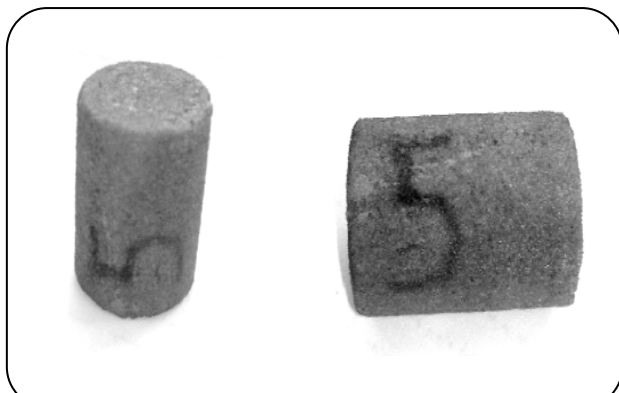


شکل ۷- مقایسه اثر فیلتراسیون آب تزریقی بر روی مغزه شماره ۳ با شدت جریان 4 cc/h .

کوچک بودن اندازه ذره‌ها کاهش محسوسی در نفوذپذیری مشاهده نشد. در ادامه برای بررسی اثر حرکت ذرات در محیط نمونه مغزه و تاثیر افزایش شدت جریان بر حرکت ذرات سعی شد شدت جریان تزریقی در چند مرحله افزایش و سپس کاهش یابد. با توجه به شکل‌های ۹ و ۱۰ می‌توان عدم کاهش نفوذپذیری در مغزه را مشاهده نمود. در این مرحله نتایج نشان می‌دهند که افزایش شدت جریان تا 60 cc/h کاهشی در نفوذپذیری نشان نمی‌دهد. هرچند که در مراحل ابتدایی در شدت جریان 24 cc/h کاهش ۱۰ تا ۱۵ درصدی مشاهده شد اما نتیجه‌ها نشان می‌دهند این کاهش می‌تواند به دلیل ذرات معلق در آب تزریقی باشد. که به‌واسطه وجود خفره‌های ریزتر در سنگ مخزن و اندازه ذره‌های معلق در آب، در ابتدای ذره‌های معلق در خفره‌های ریزتر قرار گرفته و کاهش نفوذپذیری اولیه کمی را نشان دهد. با ادامه آزمایش به‌ویژه در شدت جریان‌های بالاتر، ذره‌های ریزتر توانایی حرکت در حفرات بزرگتر را داشته بنابراین در شدت جریان‌های اعمال شده بر روی مغزه مورد نظر کاهش در نفوذپذیری به دلیل گرفتگی حفرات ایجاد نشد.

اثر شکاف‌های ایجاد شده در محل تزریق بر آسیب دیدگی سازند (آزمایش ۴)

در این آزمایش بعد از آماده سازی مغزه شماره ۴ تزریق اولیه آب سازند صاف شده برای ۲ ساعت با شدت جریان 4 cc/h انجام شد سپس فرایند تزریق نمونه آب تزریقی از شدت جریان 4 cc/h آغاز شد و با افزایش شدت جریان سعی شد تعییرهای نفوذپذیری سنگ مخزن مورد ارزیابی قرار گیرد.



شکل ۶- نمای جانبی و مقابل نمونه مغزه شماره ۳ بعد از عملیات تزریق.

انجام می‌گیرد. در این آزمایش پس از تزریق آب صاف شده سازند، تصمیم گرفته شد تأثیر فیلتراسیون آب در حالت صاف شده و صاف نشده با هم مقایسه شود و تاثیر مواد معلق جامد در کاهش نفوذپذیری مورد بررسی قرار گیرد. شکل ۶ نیز نمای جانبی مغزه را بعد از فرایند تزریق نشان می‌دهد. در این آزمایش ابتدا آب تزریقی از صافی 44 میکرونی عبور داده شد سپس این آب تحت شرایط اعمال شده به مغزه با شدت جریان 4 cc/h به مغزه تزریق شد که نتیجه‌ها، افت محسوسی را نشان ندادند. هرچند تعییرهای اندکی در شرایط پایدار مشاهده شد اما می‌توان در مقایسه با آب صاف نشده این تعییرهای را ناچیز فرض نمود. در ادامه نیز آب تزریقی صاف نشده با شدت جریان 4 cc/h برای بیش از 2 PV به مغزه تزریق شد که اندازه‌گیری نفوذپذیری ۱۵ درصد کاهش را نشان می‌دهد. این کاهش با توجه به نوع سنگ مخزن که تفاوت آن در لایه‌های آسماری به طور کامل مشاهده می‌شود و همچنین نوع سیال تزریقی از نظر تعداد و بزرگی ذرات می‌تواند متفاوت باشد.

شکل ۷ کاهش نفوذپذیری و مقایسه آبهای تزریقی صاف شده و صاف نشده و تأثیر فیلتراسیون آبهای تزریقی را نشان می‌دهد. در ادامه برای بررسی اثر شدت جریان بر تعییرهای نفوذپذیری در مرحله بعد، آزمایش تزریق نمونه آب تزریقی در شدت جریان‌های بالاتر انجام شد.

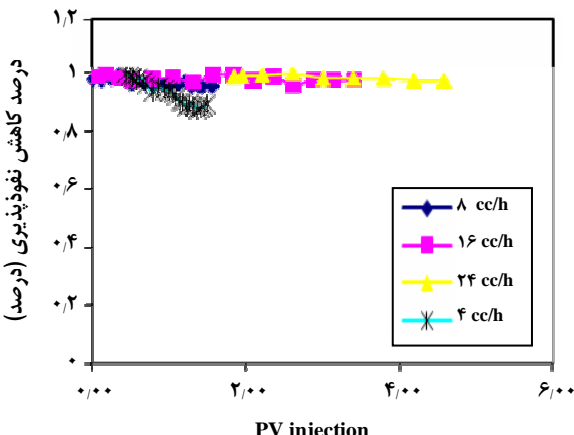
شکل ۸ اثر آب تزریقی در شدت جریان‌های بالاتر را نشان می‌دهد. همانطور که در شکل مشخص است کاهش نفوذپذیری در مراحل ابتدایی تزریق اتفاق افتاده است، به عبارتی با توجه به کاهش اولیه در شدت جریان 4 cc/h و سپس پایدار شدن جریان می‌توان این طور بیان نمود که کاهش اولیه، نشان دهنده گرفتگی خفره‌های ریزتر را دارد و با ادامه تزریق به دلیل توانایی حرکت ذره‌ها در خفره‌ها و

به دلیل پائین بودن مقاومت سنگ و سیمان شدگی ضعیف سنگ علاوه بر شسته شدن سنگ در محل تزریق و به هم خوردن ساختار سنگ در محل تزریق، در مغزه مورد نظر شکاف ایجاد شد. تأثیر این شکاف به صورتی بود که تا 600 cc/h اثر محسوسی در تعییر نفوذپذیری یا فشار تزریقی مشاهده نشد. شکل‌های ۱۱ تا ۱۳ مغزه مورد نظر را در فرآیند بعد از تزریق نشان می‌دهند. همچنین در شکل ۱۳ شکاف ایجاد شده در سنگ نمایش داده شده است که خمیر شدگی سنگ مخزن به واسطه شدت جریان بالا به روشنی قابل مشاهده می‌باشد.

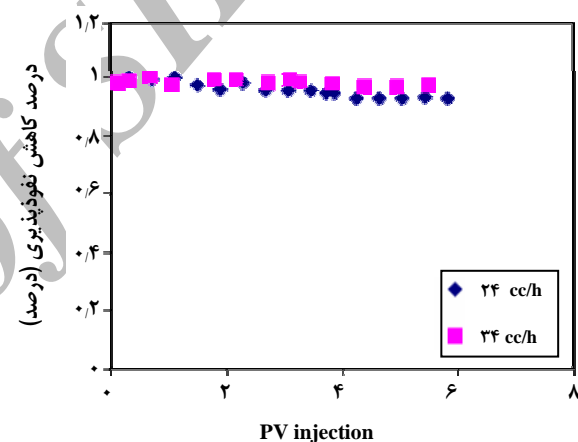
با توجه به اینکه در زمان آزمایش به دلیل تعییر نکردن فشار تزریقی، زمان شکستگی سنگ به درستی مشخص نمی‌باشد و بیشتر این موضوع احتمال می‌رود که سنگ از ابتدا دارای شکاف ریز بوده و در همان مراحل اولیه تزریق این شکستگی ایجاد شده است. بنابراین می‌توان گفت که داده‌های آزمایش فوق برای بررسی تعییرهای نفوذپذیری بر اثر پدیده‌های ایجاد شده قابل مناسب نمی‌باشد. اما آنچه که در این بخش از آزمایش‌ها می‌توان به آن موضوع اشاره داشت این است که وجود شکاف‌ها در محل تقاطع با چاههای تزریقی می‌تواند در زمانهای اولیه تزریق کاهش زیادی را نشان ندهند و زمان مشاهده تعییرهای نفوذ پذیری در زمان‌های دیرتر و حتی سال‌های بعد خود را نشان دهد. در صورت عدم عملیات درست تزریق در بهبود آبهای تزریقی، این موضوع می‌تواند برای مخازن چندان مناسب نباشد، به خصوص سازندهای مخازن آهکی که دارای شکاف‌های زیادی می‌باشند، می‌توانند دچار صدمه‌های بیشتری شوند. همچنین خمیرشدنگی سنگ مخزن در محل تزریق و در محل جریان داخل شکاف کاملاً قابل مشاهده می‌باشد، این موضوع می‌تواند در مکان‌های نزدیک محل تزریق به خصوص در اطراف چاه قابل مشاهده باشد.

اثر ذره‌های معلق و املال در آب تزریقی در گرفتگی حفره‌ها و بالا رفتن فشار تزریق در نمونه آهکی (آزمایش ۵)

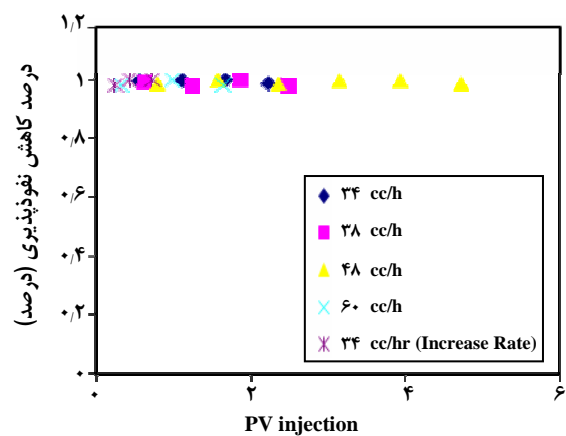
مغزه مورد نظر در این آزمایش، مغزه شماره ۵ انتخاب شد. این مغزه از جنس آهکی با نفوذپذیری 16.5 میلی دارسی بود که پس از آماده سازی و قراردادن در مغزه نگهدار، آزمایشات تزریق در دمای 75°C درجه سانتیگراد انجام شد. فشار سیستم در 500 psi تنظیم گردید. ابتدا تزریق نمونه آب تزریقی با شدت جریان 4 cc/h انجام شد که پس از تزریق حدود 2 PV ، افت فشار در سنگ مشاهده شد که به دلیل وجود شکاف در سنگ این شکستگی به وجود آمد.



شکل ۸- اثر شدت جریان آب تزریقی بر کاهش نفوذ پذیری بر روی مغزه شماره ۳.

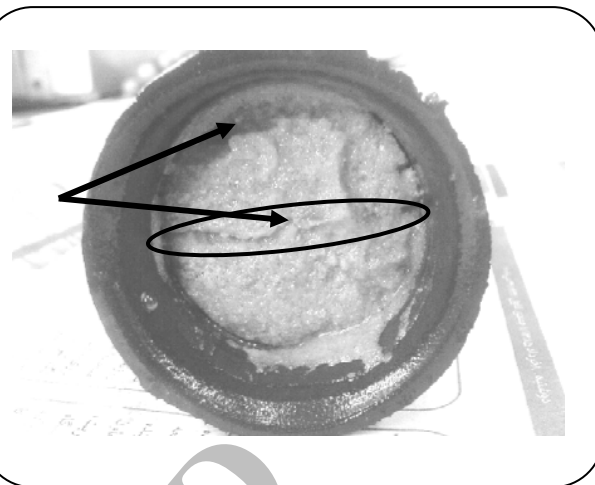


شکل ۹- اثر ذره‌های معلق در آب تزریقی در مرحله ابتدایی تزریق در مغزه شماره ۳.

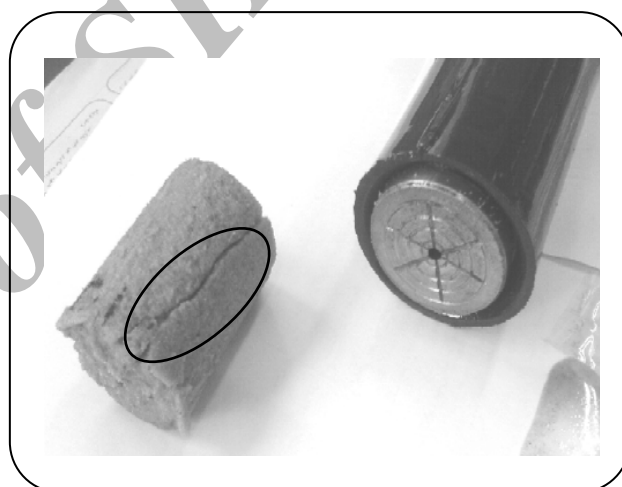


شکل ۱۰- اثر افزایش شدت جریان در فرآیند تزریق به مغزه.

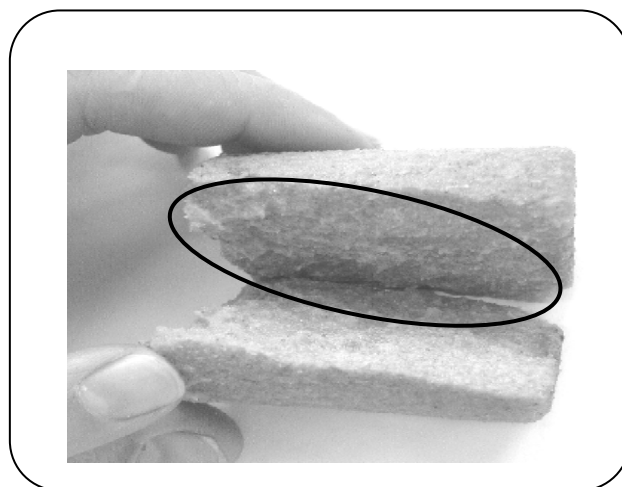
سپس فشار از سیستم برداشته شد و با شدت جریان ۴ cc/h تزریق ادامه داده شد. در شکل ۱۴ نتیجه‌های حاصل از تغییرهای فشار تزریقی نشان داده شده است. در شکل فوق زمان شکست ایجاد شده در سنگ، مشخص شده است. این تست به روشنی اثر شکاف را در محل تزریق آب نشان می‌دهد. شکل ۱۵ افت نفوذ پذیری را در قبیل از شکاف نشان می‌دهد و در ادامه شکل ۱۶ کاهش نفوذ پذیری را در شدت جریان‌های بالاتر بعد از ایجاد شکاف در نمونه نشان می‌دهد. با توجه به نتیجه‌ها می‌توان گفت که در صورت وجود املاح و رسوبات در آب، و در صورت گرفتنگی حفره‌ها، افزایش ناگهانی فشار تزریق و عدم مقاومت سنگ احتمال شکست سنگ را در محل تزریق بالا خواهد برد. این گرفتنگی در سنگهای از نوع آهکی مشخص‌تر می‌باشد. اندازه حفرات کوچکتر و سیمان شدگی با استحکام بالاتر ذرات در نمونه‌های آهکی و همچنین نفوذ پذیری کمتر در نمونه‌های فوق از جمله عواملی می‌باشند که حرکت ذره‌ها در میان محیط متخلخل را نسبت به نمونه‌های ماسه‌ای سخت‌تر می‌نمایند و باعث گرفتنگی حفرات می‌شود. این موضوع می‌تواند یکی از دلایلی باشد که بسیاری از پژوهشگران کاهش نفوذ پذیری را در شرایط آزمایشگاه با شرایط عملیاتی یکسان نمی‌بینند.



شکل ۱۱- نمونه مغزه بعد از عملیات تزریق در محل تزریق در مغزه شماره ۴.



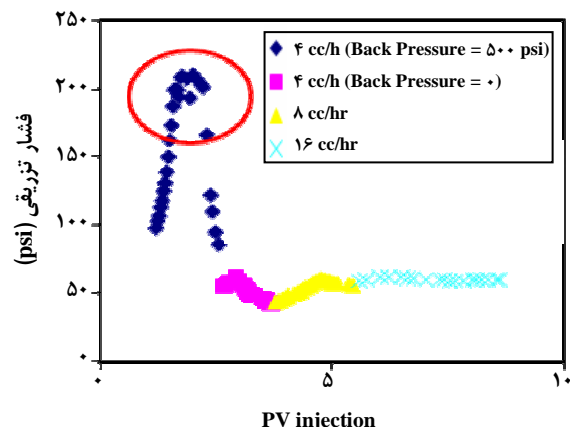
شکل ۱۲- نمونه مغزه شماره ۴ بعد از عملیات تزریق خارج شده از مغزه نگهدار.



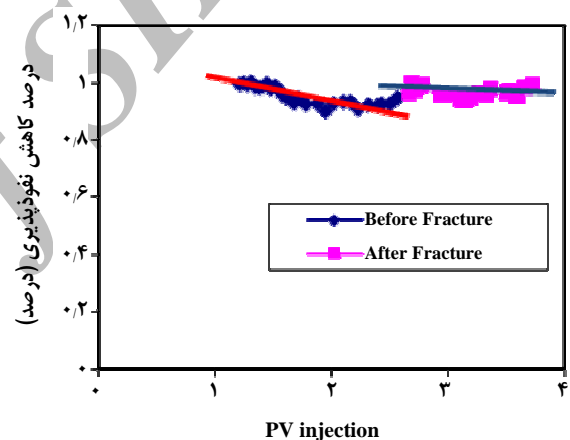
شکل ۱۳- شکاف ایجاد شده در نمونه مغزه در فرآیند ترزیق آب.

اثر افزایش شدت جریان در آسیب دیدگی سازند در نمونه سنگ آهکی (آزمایش ۷)

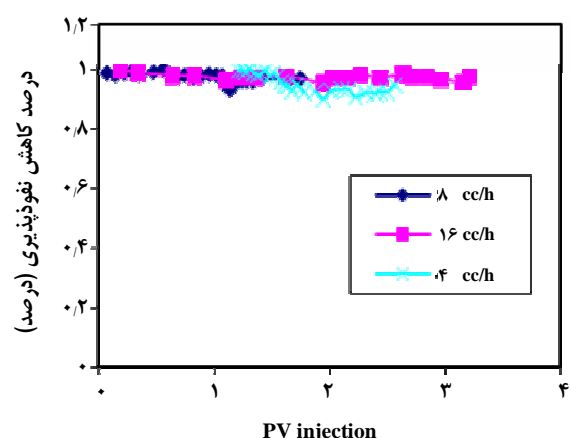
در این آزمایش از مغزه شماره ۷ که یک نمونه آهکی می‌باشد استفاده شد. این مغزه دارای تخلخل ۲۰ درصد و نفوذپذیری ۵۰ میلی دارسی می‌باشد. بعد از شرایط پایدار آب تزریقی با شدت جریان ۲ cc/h به مغزه تزریق گردید که مطابق شکل ۲۰ پس از تزریق PV کاهش ۱۴ تا ۳۰ درصدی نفوذپذیری مشاهده شد. با توجه به عدم تغییرات نفوذپذیری توسط آب صاف نشده می‌توان این کاهش نفوذپذیری بعد از تزریق آب صاف مشاهده شد. کاهش نفوذپذیری به دلیل ذرهای معلق در آب دانست در ادامه برای مطالعه اثرهای شدت جریان در جدا شدن ذرهای محیط متخلخل و حرکت در محیط متخلخل سعی شد افزایش و کاهش شدت جریان آب سازند صاف شده بر سیستم اعمال شود که شدت جریان cc/h ۳۰ افزایش و سپس در مراحل مختلف به حالت ابتدایی برگردانده شد. شکل ۲۱ این تغییرها را نشان می‌دهد که نسبت به حالت قبل تغییرهای قابل توجهتری مشاهده می‌شود. در حالت دیگر آب سازند با شدت جریان ۱۶ cc/h به مغزه تزریق شد. در حالتی که آب سازند از فیلتر ۱۰ میکرونی عبور داده شد کاهشی در نفوذپذیری مشاهده نگردید اما در حالت بدون فیلتراسیون آب سازند کاهش ۵ تا ۱۰ درصدی مشاهده گردید. این آزمایش به وضوح اثر ذرهای معلق و عدم کیفیت آب تزریقی را نشان می‌دهد به عبارتی عدم عملیات فیلتراسیون صحیح آب یکی از عامل‌های گرفتگی در لایه‌های کربناته در مخزن فوق می‌باشد در صورتی که در ساختار ماسه‌ای به دلیل توانایی حرکت ذرات در محیط وجود حفره‌ها بزرگتر، کاهش موثری در نتایج دیده نشد.



شکل ۱۴- اثر تزریق آب بدون فیلتراسیون بر روی فشار تزریقی در مغزه شماره ۵.



شکل ۱۵- اثرهای آب تزریقی بر ایجاد شکاف و کاهش نفوذ پذیری.



شکل ۱۶- اثرهای افزایش شدت جریان آب تزریقی بر روی کاهش نفوذپذیری بعد از ایجاد شکاف در مغزه ۵.

- آزمایش‌های تزریق مغزه در نمونه سنگ‌های ماسه‌ای نشان دادند که به دلیل نفوذ پذیری بالا و تخلخل بالا در سیستم و سادگی حرکت ذرات ریز محلول در آب در درون سازند احتمال افزایش فشار تزریق در مراحل ابتدائی تزریقی پائین می‌باشد. اما با حرکت آب در سازند در صورت وجود ذرات و ایجاد رسوب باعث گرفتگی در زمانهای طولانی‌تر را خواهد داشت.

- در آزمایش‌های تزریق در نمونه‌های ماسه‌ای، شسته شدن ماسه‌ها در شدت جریان‌های بالا مشاهده شد این امر به دلیل عدم سیمان‌شدن مقاوم در سازندهای ماسه‌ای در لایه آسماری این مخزن می‌باشد احتمال شسته شدن این ماسه‌ها، به ویژه در شدت جریان‌های اطراف چاههای تزریقی بسیار بالا می‌باشد.

- وجود شکاف در سازند، خصوصاً در محل چاههای تزریقی می‌تواند از افزایش فشار تزریق به خصوص در مراحل ابتدایی جلوگیری نماید. هر چند این امر می‌تواند در کاهش مشکلات تزریق (افزایش فشار تزریق) موثر باشد اما در صورت نزدیک بودن این شکافها به چاههای تولیدی، می‌تواند باعث افت فشار در چاههای تولیدی نیز گردد.

- در نمونه‌های ماسه‌ای، شکافهای ریز با سیمان شدگی ضعیف بین شکافها باعث می‌گردد که در شدت جریان بالا این شکافها به صورت یک کانال برای جریان آب عمل نمایند. به عبارتی ذرههای ماسه در بین شکافها شسته خواهند شد و مسیرهای حرکت آب حالت خمیری شکل پیدا خواهند نمود.

- با توجه به نتایج آزمایش‌های تزریق به مغزه در نمونه‌های ماسه‌ای، در آزمایش‌ها افزایش شدت جریان در نمونه آب تزریقی، حرکت ذره‌ها سازند که بتوانند باعث ایجاد گرفتگی و کاهش نفوذپذیری در نمونه مورد نظر شوند، مشاهده نشد. در حالی که در نمونه‌های آهکی این کاهش را می‌توان مشاهده نمود.

- تزریق آب سازند در نمونه سنگ‌های آهکی کاهش ۱۰ تا ۱۵ درصدی نفوذپذیری را نشان دادند این کاهش می‌تواند به دلیل ذرات معلق در آب سازند و همچنین فراوانی حفره‌ای ریزتر باشند.

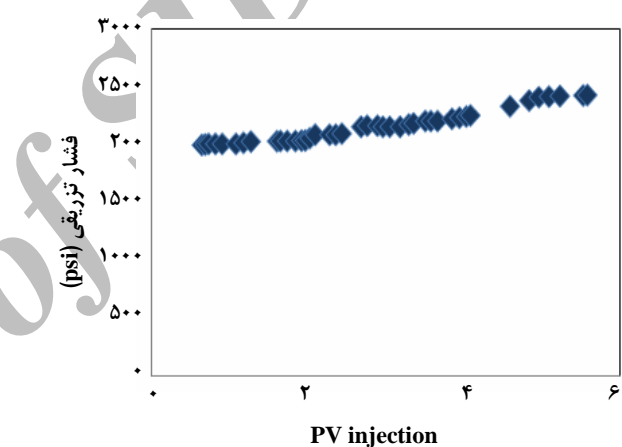
- یکی از مسئله‌های مهم در تغییر ساختار و یا ایجاد شکاف در نمونه سنگ، تغییرات فشاری بر روی نمونه می‌باشد، در این تحقیق با توجه به مسئله‌های گفته شده و محدودیت‌های عنوان شده در تعدادی از آزمایش‌ها شرایط تغییر داده شده است، همچنین انتقال نمونه‌ها از شرایط مخزنی به شرایط آزمایشگاه می‌تواند تغییرهایی را در نمونه سنگ از جهت تنشی‌های اعمالی بر نمونه ایجاد نماید که این مورد از محدودیت‌های دیگری است که باید به آن توجه نمود.

پیشنهادها

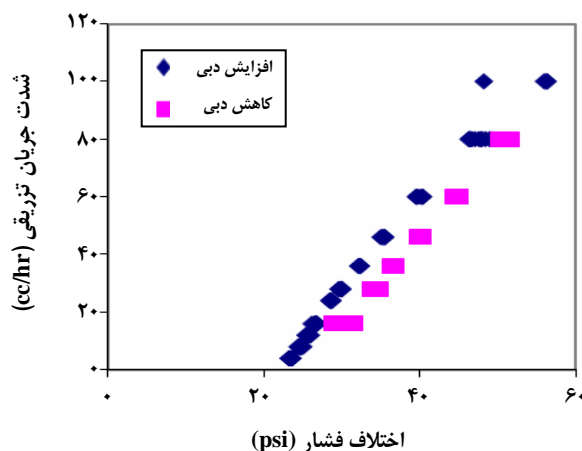
- در فرایند تزریق آب در مخازن با ساختار ماسه‌ای در صورت ارتباط چاههای تزریقی با تولیدی و تغییر ویژگی‌های سنگ مخزن و بالا بودن هتروژنیتی در نزدیک چاههای تولیدی احتمال ایجاد مشکل در سال‌های بعد از تزریق در چاههای تولیدی بسیار بالا می‌باشد. بنابراین مناسب می‌باشد این موضوع در فرآیندهای فوق مد نظر قرار گیرد در حال حاضر با در نظر گرفتن حجم مخزن و کم بودن تعداد چاههای تزریقی نسبت به چاههای تولیدی و همچنین موقعیت



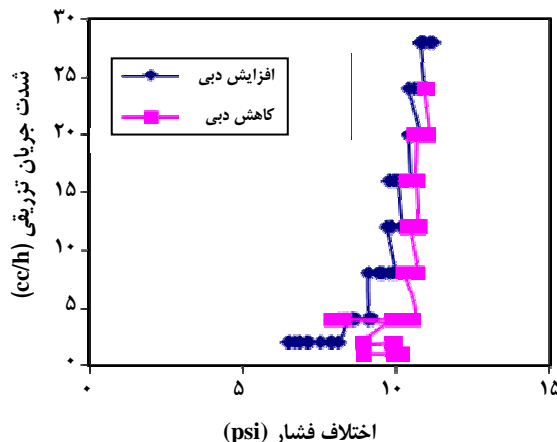
شکل ۱۷- نمای جانبی مغزه شماره ۶ بعد از عملیات تزریق.



شکل ۱۸- اثر آب تزریقی بر افزایش فشار تزریقی با شدت جریان ۴ در مغزه شماره ۶.

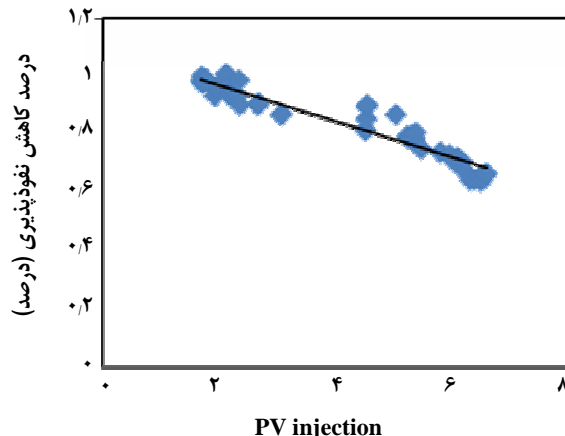


شکل ۱۹- اثرهای افزایش و کاهش شدت جریان در فرایند تزریق آب سازند صاف شده در مغزه شماره ۶.



شکل ۲۱- تغییرهای شدت جریان در مغازه شماره ۷.

از ناسازگاری این نوع آبهای آب سازند در شرایط مخزن می‌باشند.
- برای بررسی جامع‌تر پیشنهاد می‌گردد با توجه به عدم سیمان‌پذیری مقاوم سنگ‌های ماسه‌ای مورد نظر و احتمال حرکت ذرات ماسه، آزمایشات در نمونه‌های با طول بیشتر انجام پذیرد، تا این پدیده دقیق‌تر مشاهده و بررسی شود.
- بررسی‌های انجام شده و نتیجه‌های تزریق به نمونه سنگ‌های انتخاب شده نشان می‌دهند تزریق نمونه‌های ماسه‌ای با نمونه‌های آهکی بسیار متفاوت بوده، و یکی از موارد مهم در طراحی فرایند تزریق بررسی لیتولوژی چاه‌های تزریقی و پارامترهای سازند می‌باشند همچنین وجود شکاف در درون چاه تزریقی نیز یکی از مسایل مهم در طراحی چگونگی تزریق و مدیریت تزریق به این چاه‌ها می‌باشد. بنابراین در نظر گرفتن شرایط فوق در بهبود عملکرد فرایند بسیار موثر خواهد بود.



شکل ۲۰- تغییرهای نفوذپذیری در تزریق نمونه آب در مغازه شماره ۷.

چاه‌های تزریقی که بیشتر جنبه دفع پساب به آبده مخزن را دارند، اثرهای محسوسی در تاریخچه چاه‌های تولیدی که ناشی از چاه‌های تزریقی باشد مشاهده نشده است.

- در صورت وجود شکاف در دهانه چاه در صورت عدم تصفیه صحیح آب و وجود مواد معلق و ذره‌های جامد می‌تواند در درازمدت در فاصله‌های دورتر از چاه‌های تزریق ایجاد مشکل گرفتگی ایجاد نماید که به دلیل عدم دسترسی این مشکل می‌تواند بسیار خطربناک‌تر از مشکلات گرفتگی اطراف چاه باشد. لذا پیشنهاد می‌شود در این شرایط بهبود کیفیت آب تزریقی تنها بر اساس تزریق پذیری چاه طراحی نشود.

- در صورت تزریق پساب‌های حاصل از نمکزدایی در یک مخزن مشخص، باید توجه نمود که املاح تشکیل شده در آب که به‌واسطه تغییر شرایط ترمودینامیکی ایجاد می‌شوند بسیار مؤثرتر

تاریخ دریافت: ۱۳۸۷/۶/۲۶ ، تاریخ پذیرش: ۱۳۸۸/۶/۲

منابع

- [1] Bennion D.B., Thomas, F., Injection Water Quality - A Key Factor to Successful Water Flooding, *JCPT*, **37**(6), (1998).
- [2] Honarpour M., Koederitz L., Harvey A.H., "Relative Permeability of Petroleum Reservoirs", *CRC Press Inc.*, (1986).
- [3] Liu X. & Civan F., Formation Damage and Filter Cake Buildup in Laboratory Core Tests: Modeling and Model Assisted Analysis, *SPE 25215 – P*, Mar, **11**(1), pp. 26-30, (1996).
- [4] Muecke T.W., Formation Fines and Factors Controlling Their Movement in Porous Media, *JPT, SPE 7007*, **31**(2), pp. 144-150 (1979).

- [5] Gruesbeck C., Collins R.E., Entrainment and Deposition of Fine Particles in Porous Media, *SPEJ*, **22**(6), pp. 847-856 (1982).
- [6] Sengupta S.K., Effect of Flow Rate and Rheology on Shear Strength of Migrating Formation Fines Due to Flow of Pseudoplastic Fluids, Lafayette, LA, *SPE 10669*, March (1982).
- [7] Gabriel G.A., Inamdar G.R., An Experimental Investigation of Fines Migration in Porous Media, San Francisco, CA, *SPE 12168*, (1983).
- [8] Borchardt J.K., Brown D.L., Clay Stabilizers Improve EOR Injection Rates, *Oil & Gas Journal*, Sept.10, p. 50 (1984).
- [9] Leone J.A., Scott M.E., Characterization and Control of Formation Damage During Waterflooding in a High Clay Content Reservoir, *SPE 16234*, (1988).
- [10] Selby R.J., A1i S.M.F., Mechanics of Sand Production and the Flow of Fines in Porous Media, *JCPT*, **24**(3), (1988).
- [11] Davidson D.Fi., "Invasion and Impairment of Formations by Particulates", Unsolicited Manuscript, *SPE 8022*, (1979).
- [12] Eleri O.O., Ursin J.R., Physical Aspects of Formation Damage in Linear Flooding Experiments, Lafayette, LA, *SPE 23784*, Feb 26-27, (1992).
- [13] Zhang N.S., An Experimental Investigation of the Formation Damage Caused by Produced Oily Water Injection, Aberdeen, UK, *SPE 26702*, Sept. 7-10, (1993).
- [14] Francis P., Dominating Effects Controlling the Extent of Drilling Induced Damage, The Hague, Netherlands, *SPE 38182*, June 2-3, (1997).
- [15] Rochon J., Water Quality for Injection Wells, Lafayette, LA, *SPE 31122*, Feb 14-16, (1996).
- [16] Francis P., Dominating Effects Controlling the Extent of Drilling Induced Damage, The Hague, Netherlands, *SPE 38182*, June 2-3, (1997).
- [17] Tovar J., Formation Damage Studies on Reservoir Rocks Using Water Base and Oil Base Muds, Lafayette, LA, *SPE 27349*, Feb. 7-10, (1994).
- [18] Jiao D. & Sharma M.M., Mud Induced Formation Damage in Fractured Reservoirs, The Hague, Netherlands, *SPE 30107*, May 15-16, (1995).
- [19] Warren B.K., Development of the Pekisko Dolomite in the Bigoray Field. Issues in Formation Damage Mechanisms, Drilling Fluid Selection and Well Stimulation, Denver, CO, *SPE 39921*, Apr 5-8, (1998).
- [20] Kwan M.Y., Cullen M.P., Jamieson P.R., Fortier R.A., A Laboratory Study of Permeability Damage to Cold Lake Tar Sands Cores, *Journal of Canadian Petroleum Technology*, **28** (1), p. 56 (1989).
- [21] Souto E., Bazin B., Ion Exchange Between Hydrogen and Homoionic Brines Related to Permeability Reduction, presented at SPE International Symposium on Oil Field Chemistry, New Orleans, LA, *SPE 25203*, March 2-5, (1983).

- [22] Gruesbeck C., Collins R.E., Entertainment and Deposition of Fine Particles in Porous Media, *SPE Journal*, **22**(6), p. 847 (1982).
- [23] Eleri O.O., Ursin J.R., Physical Aspects of Formation Damage in Linear Flooding Experiments, presented at SPE Intl. Symposium on Formation Damage Control, Louisiana, *SPE 23784*, Feb. 26-27, (1992).
- [24] Todd A.C. et al., Review of Permeability Damage Studies and Related North Sea Water Injection, Presented at the 1979 SPE Intl. Symposium on Oil Field and Geothermal Chemistry, Dallas, SPE 7883, pp. 22 – 24, January (1979).
- [25] Eric C., Crowell D., Brant Bennion F., Brent Thomas, Douglas W. Bennion, The Design & Use of Laboratory Tests to Reduce Formation Damage in Oil & Gas Reservoirs, Hycal Energy Research Laboratories Ltd., the 13th Annual Conference of Ontario Petroleum Institute, Toronto, Ontario (1991).
- [26] Gray D.H., Rex R.W., Formation Damage in Sandstone Caused by Clay Dispersion and Migration, *Fourteenth National Comperence on Clays and Clay Mineral*, **14**, p. 355 (1966).